

ПОЛОСА С ПОСТОЯННЫМИ НАПРЯЖЕНИЯМИ НА РАЗРЕЗЕ: ТОЧНЫЕ РЕШЕНИЯ

Коваленко М.Д., Меньшова И.В., Кержаев А.П., Yu G

Институт теории прогноза землетрясений и математической
геофизики Российской академии наук, г. Москва, Россия

Источник: Kovalenko M.D., Menshova I.V., Kerzhaev A.P., Yu G. A strip with constant stresses on the cut: Exact solutions // ZAMM-Zeitschrift für Angewandte Mathematik und Mechanik, 2022, vol. 102, no. 10, art. e202100431. DOI: 10.1002/zamm.202100431.

Введение

- Краевые задачи теории упругости для бесконечной полосы с различными граничными условиями на ее сторонах и с центральным поперечным разрезом, на котором заданы постоянные нормальные напряжения, были предметом многочисленных исследований. Однако точных решений, насколько нам известно, построить не удалось.
- Практически все решения вначале сводились к сингулярным интегральным уравнениям, а затем – к приближенному решению соответствующей бесконечной системы алгебраических уравнений.
- В этой статье, следуя методологии, рассмотренной в предыдущих публикациях авторов, проблема рассматривается как задача о контакте двух полуполос, когда на их стыке задан разрыв продольных перемещений.
- Рассматриваются следующие граничные условия. Длинные стороны полосы: а) свободны, б) жестко заземлены, с) имеют ребра жесткости, работающие только на растяжение-сжатие.
- Все решения представляются рядами по собственным функциям Папковича–Фадля, которые точно удовлетворяют заданным однородным граничным условиям на сторонах полосы.

Свободная полоса с поперечной трещиной

Рассмотрим бесконечную полосу $\{П: |x| < \infty, |y| \leq 1\}$ со свободными сторонами,

$$\sigma_y(x, \pm 1) = \tau_{xy}(x, \pm 1) = 0, \quad (1)$$

и с постоянными нормальными напряжениями p на центральном поперечном разрезе $\{\gamma: x = 0, |y| \leq \alpha < 1\}$ (четно-симметричная деформация).

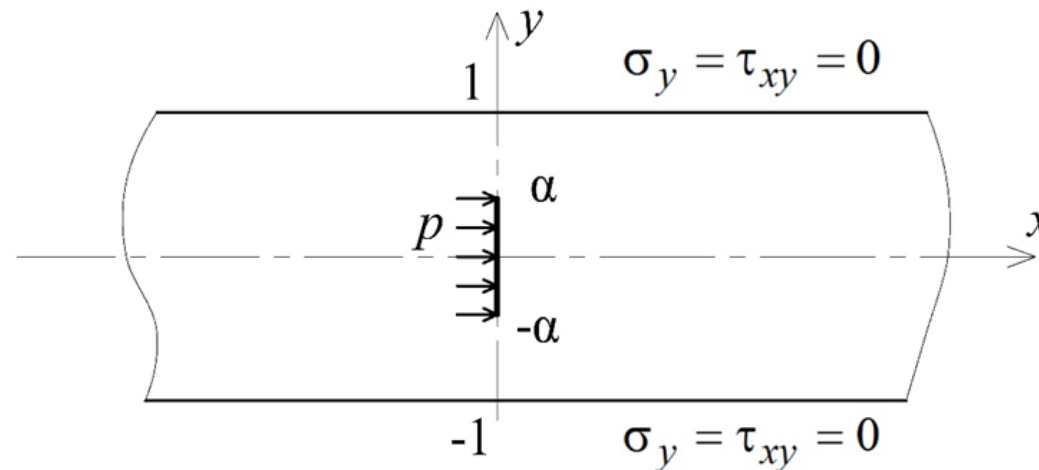


Рис. 1. Свободная полоса с трещиной.

Разложения по функциям Папковича–Фадля в полуполосе (при $x \geq 0$ $\text{Re}\lambda_k < 0$; при $x < 0$, $\text{Re}\lambda_k > 0$)

$$\begin{aligned}
 U(x, y) &= \sum_{k=1}^{\infty} a_k \xi(\lambda_k, y) e^{\lambda_k x} + \overline{a_k} \xi(\overline{\lambda_k}, y) e^{\overline{\lambda_k} x}, & V(x, y) &= \sum_{k=1}^{\infty} a_k \chi(\lambda_k, y) e^{\lambda_k x} + \overline{a_k} \chi(\overline{\lambda_k}, y) e^{\overline{\lambda_k} x}, \\
 \sigma_x(x, y) &= \sum_{k=1}^{\infty} a_k s_x(\lambda_k, y) e^{\lambda_k x} + \overline{a_k} s_x(\overline{\lambda_k}, y) e^{\overline{\lambda_k} x}, & \sigma_y(x, y) &= \sum_{k=1}^{\infty} a_k s_y(\lambda_k, y) e^{\lambda_k x} + \overline{a_k} s_y(\overline{\lambda_k}, y) e^{\overline{\lambda_k} x}, \\
 \tau_{xy}(x, y) &= \sum_{k=1}^{\infty} a_k t_{xy}(\lambda_k, y) e^{\lambda_k x} + \overline{a_k} t_{xy}(\overline{\lambda_k}, y) e^{\overline{\lambda_k} x}.
 \end{aligned} \tag{2}$$

Собственные числа $\lambda_k, \overline{\lambda_k}$ – комплексно-сопряженные нули целой функции экспоненциального типа

$$L(\lambda) = \lambda + \sin\lambda \cos\lambda.$$

Обозначения: $U(x, y) = Gu(x, y)$, $V(x, y) = Gv(x, y)$; G – модуль сдвига; v – коэффициент Пуассона; $u(x, y)$ – продольные перемещения вдоль оси x , $v(x, y)$ – поперечные перемещения вдоль оси y .

Функции Папковича–Фадля имеют вид:

$$\xi(\lambda_k, y) = \left(\frac{1-\nu}{2} \sin \lambda_k - \frac{1+\nu}{2} \lambda_k \cos \lambda_k \right) \cos \lambda_k y - \frac{1+\nu}{2} \lambda_k y \sin \lambda_k \sin \lambda_k y,$$

$$\chi(\lambda_k, y) = \left(\frac{1+\nu}{2} \lambda_k \cos \lambda_k + \sin \lambda_k \right) \sin \lambda_k y - \frac{1+\nu}{2} \lambda_k y \sin \lambda_k \cos \lambda_k y,$$

$$s_x(\lambda_k, y) = (1+\nu) \lambda_k \{ (\sin \lambda_k - \lambda_k \cos \lambda_k) \cos \lambda_k y - \lambda_k y \sin \lambda_k \sin \lambda_k y \}, \quad (3)$$

$$s_y(\lambda_k, y) = (1+\nu) \lambda_k \{ (\sin \lambda_k + \lambda_k \cos \lambda_k) \cos \lambda_k y + \lambda_k y \sin \lambda_k \sin \lambda_k y \},$$

$$t_{xy}(\lambda_k, y) = (1+\nu) \lambda_k^2 \{ \cos \lambda_k \sin \lambda_k y - y \sin \lambda_k \cos \lambda_k y \}.$$

Введем две функции:

$$\begin{aligned}\Phi(\lambda_k, y) &= \Phi^S(\lambda_k, y) + i\Phi^C(\lambda_k, y), \\ F(\lambda_k, y) &= F^S(\lambda_k, y) + iF^C(\lambda_k, y),\end{aligned}\tag{4}$$

где

$$\begin{aligned}\Phi^S(\lambda_k, y) &= -t_{xy}(\lambda_k, y), \quad \Phi^C(\lambda_k, y) = (1+\nu)\frac{d\chi(\lambda_k, y)}{dy} + \frac{1-\nu}{2}s_x(\lambda_k, y), \\ F^S(\lambda_k, y) &= -(1+\nu)\frac{d\xi(\lambda_k, y)}{dy} - \frac{1-\nu}{2}t_{xy}(\lambda_k, y), \quad F^C(\lambda_k, y) = -s_x(\lambda_k, y).\end{aligned}\tag{5}$$

Подставляя в (4) выражения (5), получим

$$\begin{aligned}\Phi(\lambda_k, y) &= -i(1+\nu)\lambda_k^2(-\cos\lambda_k + iy\sin\lambda_k)e^{\lambda_k iy}, \\ F(\lambda_k, y) &= -i(1+\nu)\lambda_k[-(\lambda_k\cos\lambda_k - \sin\lambda_k) + \lambda_k iy\sin\lambda_k]e^{\lambda_k iy}.\end{aligned}\tag{6}$$

Функциям (5) поставим в соответствие аналитические функции переменной $z = x + iy$

$$\begin{aligned}\Phi(\lambda_k, z) &= -i(1+\nu)\lambda_k^2(-\cos\lambda_k + z\sin\lambda_k)e^{\lambda_k z}, \\ F(\lambda_k, z) &= -i(1+\nu)\lambda_k[-(\lambda_k\cos\lambda_k - \sin\lambda_k) + \lambda_k z\sin\lambda_k]e^{\lambda_k z}\end{aligned}\tag{7}$$

Основная идея решения задачи

Рассмотрим ряд Лагранжа:

$$\sum_{k=1}^{\infty} A_k F(\lambda_k, y) + \bar{A}_k F(\bar{\lambda}_k, y) = \begin{cases} \frac{-2y}{\sqrt{\alpha^2 - y^2}} & (y \in \gamma), \\ 0 & (\alpha < |y| < 1) \end{cases} \quad (8)$$

с некоторыми коэффициентами A_k (коэффициенты Лагранжа).

Будем рассматривать функцию, стоящую справа в (8), как скачок функции $\frac{-z}{\sqrt{z^2 + \alpha^2}}$ на разрезе γ .

Тогда сумма ряда $\sum_{k=1}^{\infty} A_k F^C(\lambda_k, y) + \bar{A}_k F^C(\bar{\lambda}_k, y)$ будет равна некоторой постоянной ρ в силу того, что собственные функции Папковича–Фадля $F^C(\lambda_k, y) = -s_x(\lambda_k, y)$ самоуравновешены на отрезке $|y| \leq 1$.

Биортогональные функции

Уравнения для определения биортогональных функций:

$$\int_{-\infty}^{\infty} \Phi(\lambda, y) \Phi_k(y) dy = \frac{\lambda L(\lambda)}{\lambda - \lambda_k}, \quad \int_{-\infty}^{\infty} F(\lambda, y) F_k(y) dy = \frac{L(\lambda)}{\lambda - \lambda_k} \quad (k = 1, 2, \dots). \quad (9)$$

Уравнения (9) можно переписать в таком виде:

$$\int_{-\infty}^{\infty} \Phi^S(\lambda, y) \Phi_k^S(y) dy = \frac{\lambda^2 L(\lambda)}{\lambda^2 - \lambda_k^2}, \quad \int_{-\infty}^{\infty} \Phi^C(\lambda, y) \Phi_k^C(y) dy = \frac{\lambda \lambda_k L(\lambda)}{\lambda^2 - \lambda_k^2}, \quad \Phi_k(y) = \Phi_k^S(y) - i \Phi_k^C(y), \quad (10)$$

$$\int_{-\infty}^{\infty} F^S(\lambda, y) F_k^S(y) dy = \frac{\lambda_k L(\lambda)}{\lambda^2 - \lambda_k^2}, \quad \int_{-\infty}^{\infty} F^C(\lambda, y) F_k^C(y) dy = \frac{\lambda L(\lambda)}{\lambda^2 - \lambda_k^2}, \quad F_k(y) = F_k^S(y) - i F_k^C(y).$$

Соотношения биортогональности:

$$\int_T \Phi^S(\lambda_k, t) \Phi_k^S(t) dt = \int_T \Phi^C(\lambda_k, t) \Phi_k^C(t) dt = \begin{cases} \lambda_k M_k & (\lambda_k = \lambda_m), \\ 0 & (\lambda_k \neq \lambda_m), \end{cases} \quad M_k = \frac{L'(\lambda_k)}{2} = \cos^2 \lambda_k. \quad (11)$$

$$\int_T F^S(\lambda_k, t) F_k^S(t) dt = \int_T F^C(\lambda_k, t) F_k^C(t) dt = \begin{cases} M_k & (\lambda_k = \lambda_m), \\ 0 & (\lambda_k \neq \lambda_m), \end{cases}$$

Финитные части биортогональных функций $\Phi_k^S(y)$, $\Phi_k^C(y)$, $F_k^S(y)$ и $F_k^C(y)$ имеют следующий вид:

$$\begin{aligned}\varphi_k^S(y) &= \frac{\sin \lambda_k y}{2(1+\nu) \sin \lambda_k}, \quad \varphi_k^C(y) = -\frac{\cos \lambda_k y}{2(1+\nu) \sin \lambda_k}, \\ f_k^S(y) &= \frac{\sin \lambda_k y}{2(1+\nu) \lambda_k \sin \lambda_k}, \quad f_k^C(y) = -\frac{\cos \lambda_k y}{2(1+\nu) \lambda_k \sin \lambda_k}.\end{aligned}\tag{12}$$

Замечание 1. Рассмотрим разложение Лагранжа целой функции $F^S(\lambda, y)$, считая параметр λ вещественным:

$$F^S(\lambda, y) = \sum_{k=1}^{\infty} 2\operatorname{Re} \left[\frac{\lambda_k L(\lambda)}{\lambda^2 - \lambda_k^2} \frac{F^S(\lambda_k, y)}{M_k} \right]. \quad (13)$$

Этот ряд не сходится. Его сходимостъ можно улучшить, добавив к нему нетривиальное разложение нуля (проверяется с помощью теоремы о вычетах)

$$\sum_{k=1}^{\infty} 2\operatorname{Re} \left[\frac{F^S(\lambda_k, y)}{\lambda_k M_k} \right] = 0 \quad (|y| < 1). \quad (14)$$

В результате получим ряд Лагранжа, равномерно сходящийся при всех $|y| \leq 1$ и любых вещественных λ :

$$F^S(\lambda, y) = \sum_{k=1}^{\infty} 2\operatorname{Re} \left[\frac{\lambda^2 L(\lambda)}{(\lambda^2 - \lambda_k^2) \lambda_k} \frac{F^S(\lambda_k, y)}{M_k} \right]. \quad (15)$$

Поэтому функции $f_k^S(y)$ будем определять из уравнения

$$\int_{-\infty}^{\infty} F^S(\lambda, y) f_k^S(y) dy = \frac{\lambda^2 L(\lambda)}{(\lambda^2 - \lambda_k^2) \lambda_k}. \quad (16)$$

Замечание 2. Ряды Лагранжа по системе собственных функций $\xi(\lambda_k, y)$ могут не сходиться к раскладываемым функциям, отличаясь от них на некоторую постоянную. Это связано с тем, что финитные части биортогональных функций

$$u_k(y) = \frac{1}{1+\nu} \left\{ \frac{\lambda_k \cos \lambda_k y}{\sin \lambda_k} - [\delta(y-1) + \delta(y+1)] \right\} \quad (17)$$

ортогональны к любой постоянной. Чтобы определить эту постоянную, введем биортогональную функцию с нулевым индексом следующим образом:

$$\int_{-\infty}^{\infty} \xi(\lambda, y) U_0(y) dy = -\frac{\nu}{2} L(\lambda). \quad (18)$$

Финитная часть биортогональной функции $U_0(y)$:

$$u_0(y) = \frac{\nu}{2(1+\nu)} [\delta(y-1) + \delta(y+1)]. \quad (19)$$

Финитные части биортогональных функций $f_k^S(y)$ и $u_k(y)$ связаны равенством

$$\frac{df_k^S(y)}{dy} = \frac{u_k(y)}{2\lambda_k}. \quad (20)$$

Определение коэффициентов разложений

Коэффициенты разложений a_k в формулах (2) определяются из условий на разрезе как решение задачи сопряжения двух функций, аналитических в правой и в левой полуполосах.

Пусть $\pm u^*(y)$ – формы профилей соответственно правой и левой сторон разреза γ . Сформулируем математически задачу для полосы с разрывом продольных перемещений $2u^*(y)$. Из условий сопряжения при $x = 0$ получим два уравнения:

$$\begin{cases} \sum_{k=1}^{\infty} 2\operatorname{Re}[a_k^+ F(\lambda_k, y)] - \sum_{k=1}^{\infty} 2\operatorname{Re}[a_k^- F(-\lambda_k, y)] = 2 \frac{du^*(y)}{dy}, \\ \sum_{k=1}^{\infty} 2\operatorname{Re}[a_k^+ \Phi(\lambda_k, y)] - \sum_{k=1}^{\infty} 2\operatorname{Re}[a_k^- \Phi(-\lambda_k, y)] = 0, \end{cases} \quad (21)$$

или

$$\begin{cases} \sum_{k=1}^{\infty} 2\operatorname{Re}[(a_k^+ + a_k^-) F^S(\lambda_k, y)] + i \sum_{k=1}^{\infty} 2\operatorname{Re}[(a_k^+ - a_k^-) F^C(\lambda_k, y)] = 2 \frac{du^*(y)}{dy}, \\ \sum_{k=1}^{\infty} 2\operatorname{Re}[(a_k^+ + a_k^-) \Phi^S(\lambda_k, y)] + i \sum_{k=1}^{\infty} 2\operatorname{Re}[(a_k^+ - a_k^-) \Phi^C(\lambda_k, y)] = 0. \end{cases} \quad (22)$$

$$2\operatorname{Re}[a_k^+ F(\lambda_k, y)] = a_k^+ F(\lambda_k, y) + \bar{a}_k^+ F(\bar{\lambda}_k, y)$$

Проектируя вещественные части уравнений (22) на биортогональные векторы $F_m^S(y) + F_m^C(y)$ и $\Phi_m^S(y) + \Phi_m^C(y)$ соответственно, на основании соотношений биортогональности (11), для каждого номера $k = 1, 2, \dots$ получим систему из двух алгебраических уравнений:

$$\begin{cases} a_k M_k + \bar{a}_k \bar{M}_k = u_k^* + \bar{u}_k^*, \\ a_k \lambda_k M_k + \bar{a}_k \bar{\lambda}_k \bar{M}_k = 0, \end{cases} \quad (23)$$

$$u_k^* = \int_{-1}^1 2 \frac{du^*(y)}{dy} f_k^S(y) dy = -\frac{1}{\lambda_k} \int_{-1}^1 u^*(y) u_k(y) dy. \quad (24)$$

Определив отсюда коэффициенты a_k и подставив их в формулы, после выделения нуль-рядов получим окончательные формулы для перемещений и напряжений.

Решение для свободной полосы с трещиной

$$\begin{aligned}
 U(x, y) &= u_0^* + \sum_{k=1}^{\infty} 2 \operatorname{Re} \left(u_k^* \frac{\operatorname{Im}(-\bar{\lambda}_k e^{\lambda_k x})}{\operatorname{Im} \lambda_k} \frac{\xi(\lambda_k, y)}{\lambda_k M_k} \right), \\
 V(x, y) &= \sum_{k=1}^{\infty} 2 \operatorname{Re} \left(\frac{u_k^*}{\lambda_k} \frac{\operatorname{Im}(-\bar{\lambda}_k e^{\lambda_k x})}{\operatorname{Im} \lambda_k} \frac{\chi(\lambda_k, y)}{M_k} \right), \\
 \sigma_x(x, y) &= \sum_{k=1}^{\infty} 2 \operatorname{Re} \left(\frac{u_k^*}{\lambda_k} \frac{\operatorname{Im}(-\bar{\lambda}_k e^{\lambda_k x})}{\operatorname{Im} \lambda_k} \frac{s_x(\lambda_k, y)}{M_k} \right), \\
 \sigma_y(x, y) &= \sum_{k=1}^{\infty} 2 \operatorname{Re} \left(u_k^* \bar{\lambda}_k \frac{\operatorname{Im}(-\lambda_k e^{\lambda_k x})}{\operatorname{Im} \lambda_k} \frac{s_y(\lambda_k, y)}{\lambda_k^2 M_k} \right), \\
 \tau_{xy}(x, y) &= \sum_{k=1}^{\infty} 2 \operatorname{Re} \left(u_k^* \bar{\lambda}_k \frac{\operatorname{Im}(-e^{\lambda_k x})}{\operatorname{Im} \lambda_k} \frac{t_{xy}(\lambda_k, y)}{\lambda_k M_k} \right),
 \end{aligned} \tag{25}$$

$$u_0^* = C + \int_{-1}^1 [u^*(y) - C] \mu_0(y) dy = C - \frac{C\nu}{1+\nu} = \frac{C}{1+\nu}, \quad C = \frac{1}{2} \int_{-1}^1 u^*(y) dy. \tag{26}$$

Пример

Пусть

$$2 \frac{du^*(y)}{dy} = \begin{cases} \frac{-2y}{\sqrt{\alpha^2 - y^2}} & (y \in \gamma), \\ 0 & (\alpha < |y| < 1). \end{cases} \quad (27)$$

Тогда,

$$u_k^* = \frac{\alpha \pi J_1(\alpha \lambda_k)}{(1+\nu) \sin \lambda_k}, \quad C = \frac{\pi \alpha^2}{4}, \quad u_0^* = \frac{\pi \alpha^2}{4(1+\nu)}, \quad (28)$$

где $J_1(\alpha \lambda_k)$ – функция Бесселя первого рода, первого порядка.

Из условия самоуравновешенности напряжений $\sigma_x(0, y)$ на отрезке $|y| \leq 1$ найдем величину p постоянных нормальных напряжений $\sigma_x(0, y)$ на γ :

$$2\alpha p + 2 \int_{-\alpha}^{\alpha} \sigma_x(0, y) dy = 0. \quad (29)$$

Полоса с жестко заземленными сторонами (задача 2)

Рассмотрим бесконечную полосу $\{ \Pi: |x| < \infty, |y| \leq 1 \}$ с заземленными сторонами:

$$U(x, \pm 1) = V(x, \pm 1) = 0. \quad (30)$$

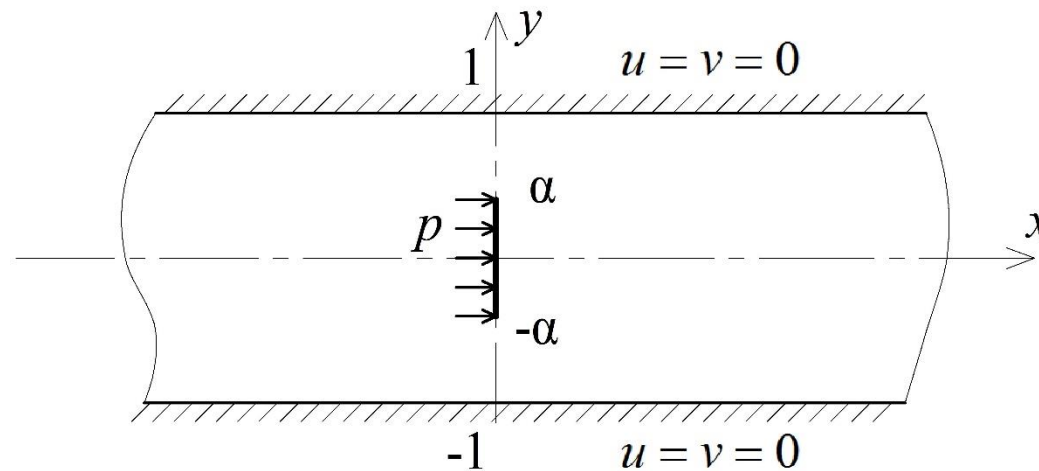


Рис. 2. Заземленная полоса с трещиной.

Собственные функции Папковича–Фадля имеют вид:

$$\begin{aligned}
 \xi(\lambda_k, y) &= \left(\frac{3-\nu}{4\lambda_k} \sin \lambda_k - \frac{1+\nu}{4} \cos \lambda_k \right) \cos \lambda_k y - \frac{1+\nu}{4} y \sin \lambda_k \sin \lambda_k y, \\
 \chi(\lambda_k, y) &= \frac{1+\nu}{4} (\cos \lambda_k \sin \lambda_k y - y \sin \lambda_k \cos \lambda_k y), \\
 s_x(\lambda_k, y) &= \left(\frac{3+\nu}{2} \sin \lambda_k - \frac{1+\nu}{2} \lambda_k \cos \lambda_k \right) \cos \lambda_k y - \frac{1+\nu}{2} \lambda_k y \sin \lambda_k \sin \lambda_k y, \\
 s_y(\lambda, y) &= \left(\frac{\nu-1}{2} \sin \lambda_k + \frac{1+\nu}{2} \lambda_k \cos \lambda_k \right) \cos \lambda_k y + \frac{1+\nu}{2} \lambda_k y \sin \lambda_k \sin \lambda_k y, \\
 t_{xy}(\lambda_k, y) &= \left(-\sin \lambda_k + \frac{1+\nu}{2} \lambda_k \cos \lambda_k \right) \sin \lambda_k y - \frac{1+\nu}{2} \lambda_k y \sin \lambda_k \cos \lambda_k y.
 \end{aligned} \tag{31}$$

Собственные числа λ_k являются нулями целой функции

$$L(\lambda) = \frac{3-\nu}{8\lambda} \sin 2\lambda - \frac{1+\nu}{4}, \tag{32}$$

причем есть два вещественных корня $\pm\lambda_1 = \pm 0,9477$ при $\nu = \frac{1}{3}$.

Решение для заземленной полосы с трещиной

$$\begin{aligned}
 U^s(x, y) &= -U^1(x, y) - \sum_{k=2}^{\infty} 2 \operatorname{Re} \left\{ u_k \frac{\xi(\lambda_k, y)}{\lambda_k M_k} \frac{\operatorname{Im}(\bar{\lambda}_k e^{\lambda_k x})}{\operatorname{Im} \lambda_k} \right\}, \\
 V^s(x, y) &= V^1(x, y) + \sum_{k=2}^{\infty} 2 \operatorname{Re} \left\{ \frac{u_k}{\lambda_k} \frac{\chi(\lambda_k, y)}{M_k} \frac{\operatorname{Im}(\bar{\lambda}_k e^{\lambda_k x})}{\operatorname{Im} \lambda_k} \right\}, \\
 \sigma_x^s(x, y) &= -\sigma_x^1(x, y) - \sum_{k=2}^{\infty} 2 \operatorname{Re} \left\{ \frac{u_k}{\lambda_k} \frac{s_x(\lambda_k, y)}{M_k} \frac{\operatorname{Im}(\bar{\lambda}_k e^{\lambda_k x})}{\operatorname{Im} \lambda_k} \right\}, \\
 \sigma_y^s(x, y) &= -\sigma_y^1(x, y) - \sum_{k=2}^{\infty} 2 \operatorname{Re} \left\{ \frac{u_k}{\lambda_k} \frac{s_y(\lambda_k, y) \lambda_k \bar{\lambda}_k}{M_k \lambda_k^2} \frac{\operatorname{Im}(\lambda_k e^{\lambda_k x})}{\operatorname{Im} \lambda_k} \right\}, \\
 \tau_{xy}^s(x, y) &= -\tau_{xy}^1(x, y) - \sum_{k=2}^{\infty} 2 \operatorname{Re} \left\{ u_k \bar{\lambda}_k \frac{t_{xy}(\lambda_k, y)}{\lambda_k M_k} \frac{\operatorname{Im}(e^{\lambda_k x})}{\operatorname{Im} \lambda_k} \right\}.
 \end{aligned} \tag{33}$$

$$U^1(x, y) = u_1 \frac{\xi(\lambda_1, y)}{\lambda_1 M_1} (\lambda_1 x - 1) e^{\lambda_1 x}, \quad V^1(x, y) = \frac{u_1}{\lambda_1} \frac{\chi(\lambda_1, y)}{M_1} (\lambda_1 x - 1) e^{\lambda_1 x},$$

$$\sigma_x^1(x, y) = \frac{u_1}{\lambda_1} \frac{s_x(\lambda_1, y)}{M_1} (\lambda_1 x - 1) e^{\lambda_1 x}, \quad (34)$$

$$\sigma_y^1(x, y) = u_1 \lambda_1 \frac{s_y(\lambda_1, y)}{\lambda_1^2 M_1} (\lambda_1 x + 1) e^{\lambda_1 x}, \quad \tau_{xy}^1(x, y) = u_1 \lambda_1 \frac{t_{xy}(\lambda_1, y)}{\lambda_1 M_1} x e^{\lambda_1 x}.$$

Здесь

$$M_k = \frac{L'(\lambda_k)}{2}, \quad u_k(y) = -\frac{\lambda_k \cos \lambda_k y}{2 \sin \lambda_k}, \quad \int_{-\infty}^{\infty} \xi(\lambda, y) U_k(y) dy = \frac{\lambda^2 L(\lambda)}{\lambda^2 - \lambda_k^2}, \quad (35)$$

$$u_k^* = -\frac{\alpha \pi J_1(\alpha \lambda_k)}{2 \sin \lambda_k}, \quad u_0^* = 0.$$

Функции $s_x(\lambda_k, y)$ на этот раз не самоуравновешены. Поэтому постоянные напряжения p на γ будут определяться из следующего условия:

$$2\alpha p + 2 \int_{\alpha}^1 \sigma_x(0, y) dy - 2 \int_0^{\infty} \tau_{xy}(x, 1) dx = 0. \quad (36)$$

Полоса с ребрами жесткости (задача 3)

Рассмотрим бесконечную полосу $\{\Pi: |x| < \infty, |y| \leq 1\}$ с ребрами жесткости вдоль горизонтальных сторон:

$$D \frac{\partial^2 U(x, \pm 1)}{\partial x^2} - \tau_{xy}(x, \pm 1) = 0, \quad \sigma_y(x, \pm 1) = 0, \quad D = \frac{E_1 f}{Gt}. \quad (37)$$

Параметр D учитывает относительную жесткость ребра и пластины; E_1 – модуль упругости для ребра, f – площадь поперечного сечения ребра, t – толщина пластины (далее считается, что $t = 1$), G – модуль сдвига для пластины. Коэффициенты Пуассона для ребра и пластины считаются одинаковыми.

Собственные функции Папковича–Фадля имеют вид:

$$\begin{aligned}\xi(\lambda_k, y) &= -\left(\frac{1+\nu}{2}\lambda_k \sin \lambda_k y + \cos \lambda_k\right) \cos \lambda_k y + \frac{1+\nu}{2}\lambda_k y \cos \lambda_k \sin \lambda_k y, \\ \chi(\lambda_k, y) &= \left(\frac{\nu-1}{2}\cos \lambda_k + \frac{1+\nu}{2}\lambda_k \sin \lambda_k\right) \sin \lambda_k y + \frac{1+\nu}{2}\lambda_k y \cos \lambda_k \cos \lambda_k y, \\ s_x(\lambda_k, y) &= (1+\nu)\lambda_k [-(\lambda_k \sin \lambda_k + 2\cos \lambda_k) \cos \lambda_k y + \lambda_k y \cos \lambda_k \sin \lambda_k y], \\ s_y(\lambda, y) &= (1+\nu)\lambda_k^2 (\sin \lambda_k \cos \lambda_k y - y \cos \lambda_k \sin \lambda_k y),\end{aligned}\tag{38}$$

$$t_{xy}(\lambda_k, y) = (1+\nu)\lambda_k [(\lambda_k \sin \lambda_k + \cos \lambda_k) \sin \lambda_k y + \lambda_k y \cos \lambda_k \cos \lambda_k y].$$

Собственные числа λ_k – комплексные нули целой функции экспоненциального типа

$$L(\lambda) = D \cos^2 \lambda + (1+\nu) \left(1 + \frac{\sin 2\lambda}{2\lambda}\right).\tag{39}$$

$$u_k(y) = -\frac{\cos \lambda_k y}{\cos \lambda_k}, \quad u_k^* = -\frac{\alpha \pi J_1(\alpha \lambda_k)}{\lambda_k \cos \lambda_k},$$

$$u_0(y) = \frac{1}{D+2(1+\nu)}, \quad \int_{-\infty}^{\infty} \xi(\lambda, y) U_0(y) dy = -\frac{L(\lambda)}{D+2(1+\nu)}, \quad u_0^* = \frac{\pi \alpha^2}{4[D+2(1+\nu)]}.$$

Влияние граничных условий на сторонах полосы

Примем $\alpha = 0.5, \nu = 1/3$ для всех трех задач и $D = 4$ в задаче 3.

Сплошным кривым отвечает решение для свободной полосы, прерывистым – для жестко защемленной полосы, точечным – решение для полосы с ребрами жесткости.

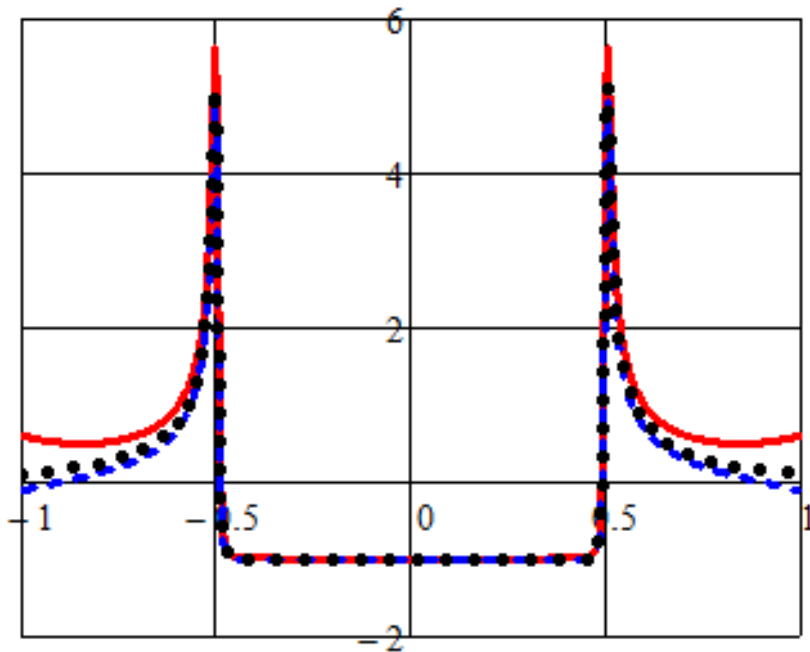


Рис. 3. Распределение нормальных напряжений $\sigma_x(0.01, y)/|p|$.

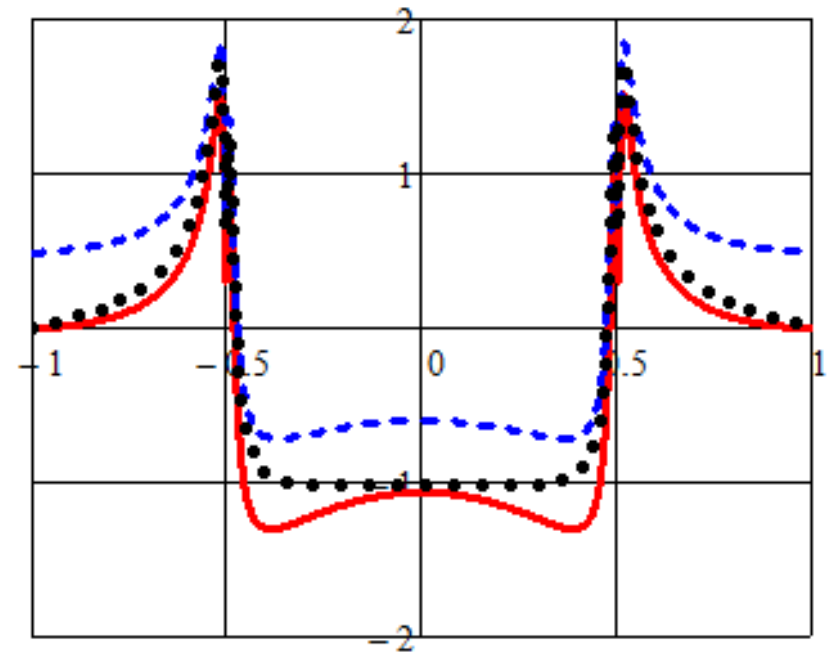


Рис. 4. Распределение нормальных напряжений $\sigma_y(0.01, y)/|p|$.

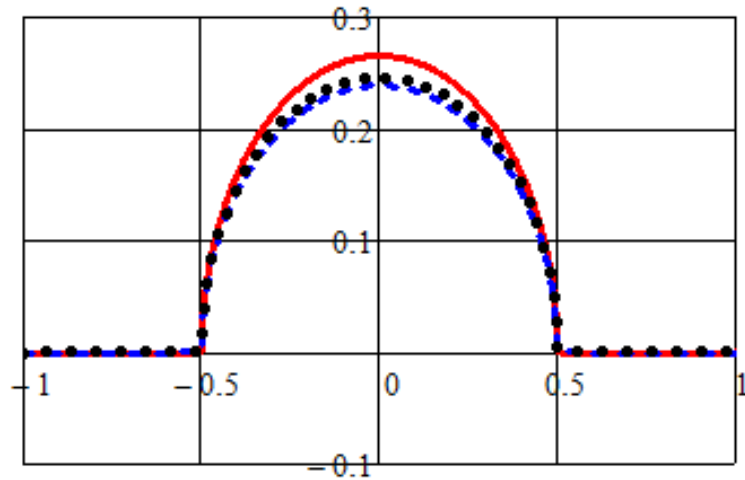


Рис. 5. Распределение продольных перемещений $U(0, y)/|p|$.

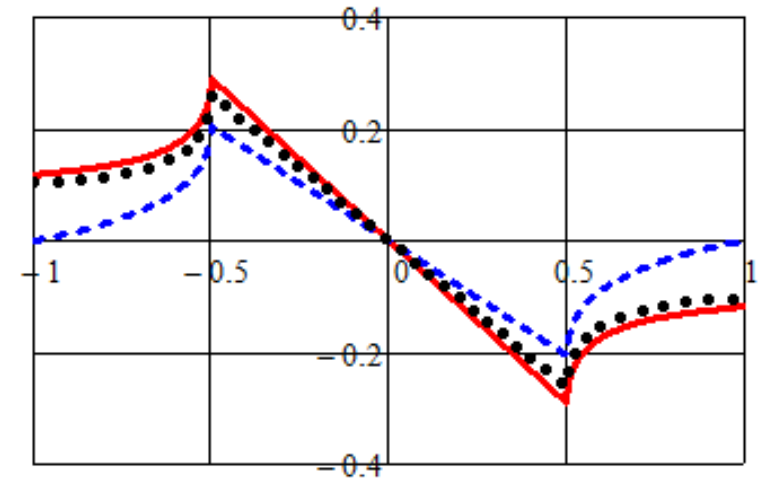


Рис. 6. Распределение поперечных перемещений $V(0, y)/|p|$.

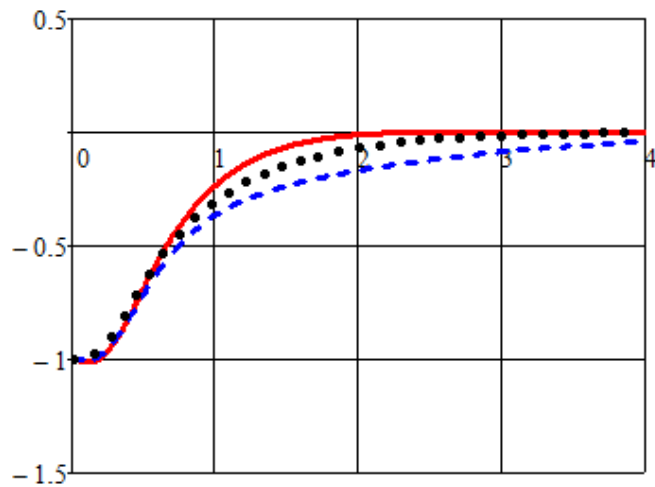


Рис. 7. Нормальные напряжения $\sigma_x(x, 0)/|p|$ в правой полуполосе.

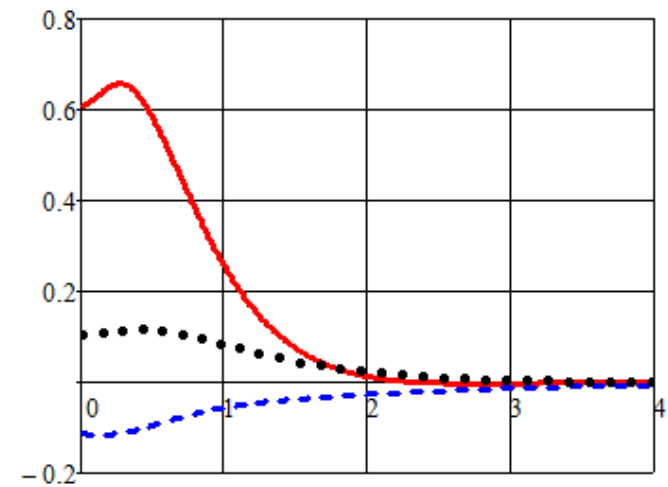


Рис. 8. Нормальные напряжения $\sigma_x(x, 1)/|p|$ в правой полуполосе.

Влияние формы разрыва

Рассмотрим три типа разрывов продольных перемещений в заземленной полосе:

$$u_1(y) = \begin{cases} \sqrt{\alpha^2 - y^2}, & |y| < \alpha < 1; \\ 0, & 1 \geq |y| > \alpha, \end{cases} \quad u_2(y) = \begin{cases} 2(\alpha^2 - y^2), & |y| < \alpha < 1; \\ 0, & 1 \geq |y| > \alpha, \end{cases} \quad u_3(y) = \begin{cases} 8(\alpha^2 - y^2)^2, & |y| < \alpha < 1; \\ 0, & 1 \geq |y| > \alpha. \end{cases}$$

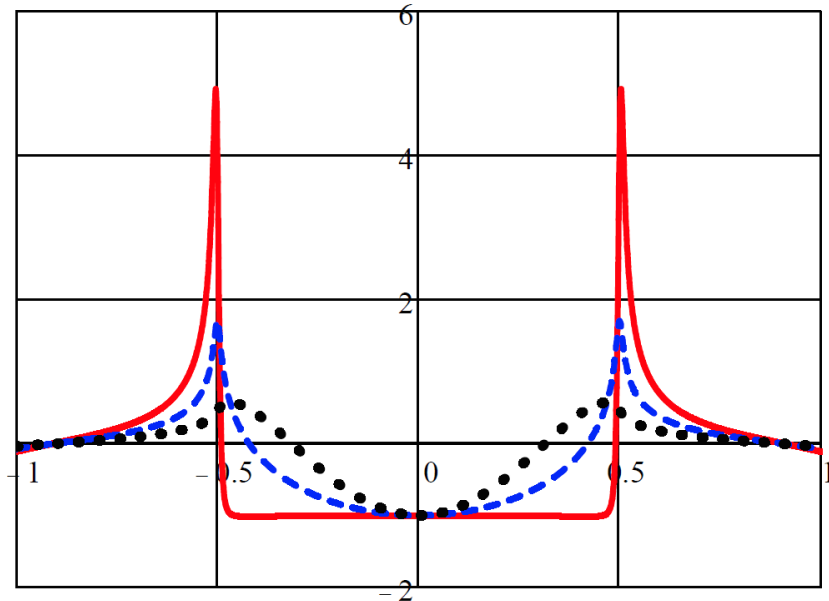


Рис. 9. Распределение нормальных напряжений $\sigma_x(0.01, y)/|p|$ для каждого типа разрыва.

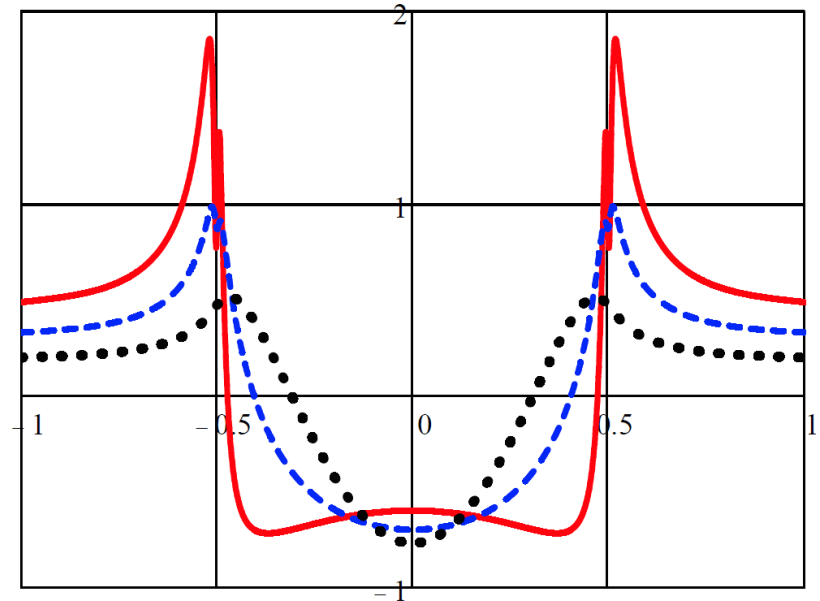


Рис. 10. Распределение нормальных напряжений $\sigma_y(0.01, y)/|p|$ для каждого типа разрыва.

Выводы

- Можно заметить, что кривые, соответствующие решению для полосы с ребрами жесткости, занимают промежуточное положение между решениями для свободной и жестко заземленной полос.
- По мере удаления от трещин решения затухают экспоненциально.
- Вне зависимости от граничных условий на длинных сторонах полосы, решения вблизи горизонтальной оси полосы довольно близки.
- Можно показать, что в третьем случае, когда гладкость контура разрыва максимальна, что соответствует точке возврата, напряжения конечны при приближении к вершине разреза, во втором случае, когда кончик контура разрыва острый, напряжения имеют логарифмическую особенность, а в первом случае, когда вершина контура разрыва имеет характер эллиптической кривой, напряжения имеют степенную особенность.
- В статье была рассмотрена упрощенная модель подкрепленной полосы с поперечной трещиной, у которой ребра жесткости работают только на растяжение-сжатие. Можно учесть также изгибную жесткость ребра.

Спасибо за внимание!